

حذف آنیلین از آب‌های آلوده با فرایند اکسایش فوتوكاتالیستی در حضور روی اکسید بارگذاری شده با کربن

پروانه نخستین پناهی^{۱*} و افسانه نیکو^۲

۱. استادیار شیمی کاربردی، گروه شیمی، دانشکده علوم، دانشگاه زنجان، زنجان، ایران.

۲. دانشجوی کارشناسی ارشد شیمی کاربردی، گروه شیمی، دانشکده علوم، دانشگاه زنجان، زنجان، ایران.

دریافت: خرداد ۹۹ بازنگری: فروردین ۱۴۰۰ پذیرش: فروردین ۱۴۰۰

 20.1001.1.17359937.1400.15.3.2.1

چکیده

آنیلین سمیت بالایی دارد که به سرعت از راه پوست جذب می‌شود و در صورتی که بلعیده و یا بخار آن تنفس شود، کشنده است. بنابراین، نظر به مشکلاتی که آنیلین برای محیط‌زیست و سلامتی انسان ایجاد می‌کند، لازم است که از انتشار این ترکیب به محیط‌زیست جلوگیری شود. هدف از پژوهش حاضر، حذف آنیلین با فرایند فوتوكاتالیستی تحت پرتو مرئی است. برای این منظور روی اکسید با درصد‌های متفاوتی از گرافن و گرافن اکسید کاهاش‌یافته، بارگذاری و عملکرد فوتوكاتالیستی آن‌ها برای حذف آنیلین از محلول آبی در نور مرئی بررسی شد. برای بررسی ویژگی‌های فیزیکی و شیمیایی چندسازه‌های به دست آمده نیز با پراش پرتو ایکس، میکروسکوب الکترونی پویشی، فوتولومینسانس، طیف‌سنجدی فروسرخ و طیف‌سنجدی فرابنفش-مرئی بازتاب پخشیده بررسی شد. بررسی فعالیت فوتوكاتالیستی چندسازه‌ها نشان داد که با بارگذاری گرافن و گرافن اکسید کاهاش‌یافته بر روی اکسید، درصد حذف آنیلین افزایش و روی اکسید بارگذاری شده با ده درصد وزنی گرافن (G(10%wt)/ZnO)، بیشترین فعالیت فوتوكاتالیستی و بازده حذف آلاینده آنیلین (75 درصد حذف) را در نور مرئی از خود نشان داد.

واژه‌های کلیدی: فوتوكاتالیست، آنیلین، روی اکسید، گرافن

مقدمه

شیمیایی با اهمیت بهطور وسیعی در کشاورزی، داروها، رزین‌ها، جوهرهای مازیک، عطرها، واکس‌های کفش، رنگ‌ها، بسپارهای رسانا و بسیاری از دیگر مواد شیمیایی خانگی رایج و مواد صنعتی مورد استفاده قرار می‌گیرند. این ترکیب‌ها به عنوان آلاینده‌های سمی آب شناخته شده‌اند و حضور آن‌ها در فاضلاب حتی در غلظت‌های بسیار اندک برای زندگی آبزیان با افزایش آگاهی جوامع از خطرهای جبران‌ناپذیر آلودگی محیط‌زیست درنتیجه تخلیه پساب‌ها و مواد آلاینده به طبیعت، قوانین حفاظت از محیط‌زیست در دهه اخیر بسیار جدی و سخت‌تر شده است. آمین‌های آروماتیک به عنوان یکی از مواد

۴٪ از نور خورشید را تشکیل می‌دهد، فعال هستند. همچنین، سرعت بالای بازتر کیپ الکترون و حفره‌های تولید شده در این نیم‌رساناهای سبب کاهش بازده واکنش فوتوکاتالیستی می‌شود. بنابراین، برای بهره‌گیری از ذره‌های روی اکسید و تیتانیم دی‌اکسید در نور مرئی و افزایش بازده فوتوکاتالیستی، لازم است از روش‌های فیزیکی و شیمیابی متفاوت برای کاهش کاف انرژی و اصلاح ویژگی آن‌ها استفاده کرد. یکی از این روش‌ها به کارگیری کمک کاتالیست‌های کربنی مانند گرافن یا گرافن اکسید است. مواد کربنی با بهداشت‌اختن فوتوکاترون‌های تولید شده، موجب کاهش ترکیب دوباره فوتوکاترون و حفره می‌شوند و درنتیجه عملکرد فوتوکاتالیستی و درصد حذف آلاینده افزایش می‌یابد. هوانگ و همکارانش در سال ۲۰۱۲ چندسازه‌های روی اکسید/گرافن را با روش آب‌گرمایی تهیی و فعالیت فوتوکاتالیستی آن‌ها را در حذف رنگ متیلن‌بلو بررسی کردند. نتیجه‌ها نشان داد که با بارگذاری گرافن، فعالیت فوتوکاتالیستی بیشتر شد و چندسازه روی اکسید/گرافن با نسبت جرمی ۵۰ به ۱، بیشترین بازده فوتوکاتالیستی برای حذف متیلن‌بلو را داشت [۱۰]. چن و همکارانش در سال ۲۰۱۵ به بررسی فعالیت فوتوکاتالیستی روی اکسید/گرافن برای تخریب استالدید پرداختند. برپایه نتیجه‌ها با افرودن گرافن، ترکیب دوباره فوتوکاترون و حفره کاهش یافت و چندسازه روی اکسید/گرافن با ۳ درصد وزنی گرافن، فعالیت فوتوکاتالیستی خیلی بالایی را نسبت به روی اکسید برای حذف استالدید از خود نشان داد [۱۱].

برپایه مطالعه‌های انجام گرفته، روی اکسید بارگذاری شده با کربن برای حذف فوتوکاتالیستی آنیلین از آبهای آلوده تحت پرتو نور مرئی تاکنون بررسی نشده است. بنابراین، در این پژوهش، ابتدا گرافن و گرافن اکسید کاهش یافته، با درصد های متفاوت بر روی اکسید بارگذاری شد. سپس، فعالیت فوتوکاتالیستی آن‌ها برای حذف آنیلین مورد بررسی قرار گرفت. ویژگی‌های فیزیکی و شیمیابی

مضر نشان داده شده است [۱]. آنیلین که به عنوان یکی از آمین‌های آروماتیک در سطح وسیعی از کارخانه‌ها مورد استفاده قرار می‌گیرد، به مقدار ۳/۵ درصد در آب حل و این قابلیت حل شدن، احتمال حضور آلودگی آن را در آب افزایش می‌دهد [۲]. آنیلین یک ماده سرطان‌زا برای انسان است و در خون به‌سادگی واکنش می‌دهد و هموگلوبین را به متهموگلوبین تبدیل می‌کند. بنابراین، مانع جذب اکسیژن و پیدایش بیماری متهموگلوبینمی^۱ می‌شود. مواجه شدن طولانی مدت با آنیلین منجر به کاهش اشتها، کم خونی، کاهش وزن، اختلال در سیستم عصبی و آسیب به کلیه و کبد و مغز استخوان می‌شود و ممکن است موجب واکنش‌های آلرژیک پوستی نیز شود [۱]. تا ۳، قوانین بهداشتی حد مجاز تماس آنیلین را ۲ ppm در ۸ ساعت برای جذب پوستی و ۵ ppm در ۸ ساعت برای تماس در هوا تعیین کرده است [۴]. با توجه به اثرات زیان‌بار و محدودیت‌هایی که برای آنیلین وجود دارد، حذف آن از محلول‌های آبی اهمیت زیادی دارد. فرایندهای اکسایش پیشرفتنه (AOP) از روش‌های نوین حذف آلاینده‌های آلی از منابع آبی هستند. حذف آلاینده‌ها در فرایندهای اکسایش اکسایش بالا است که بسیاری از ترکیب‌های شیمیایی آلی را به مواد معدنی تبدیل می‌کند [۵ و ۶]. یکی از فرایندهای اکسایش پیشرفتنه که در سال‌های اخیر برای حذف انواع آلاینده‌ها مطالعه و پیشنهاد شده است، فرایند اکسایش فوتوکاتالیستی است [۷ و ۸]. طی فرایند اکسایش فوتوکاتالیستی، مواد آلاینده در اثر تابش نور از یک منبع نوری و در حضور فوتوکاتالیست‌های نیم‌رسانا به آب و کربن دی‌اکسید و یا سایر مواد بی‌ضرر تجزیه می‌شوند [۹]. فوتوکاتالیست‌های تیتانیم دی‌اکسید و روی اکسید به‌دلیل داشتن کاف انرژی^۲ (E_{bg}) بالا، فقط در ناحیه فرابنفش که تنها

1. Methemoglobinemia

2. Advanced oxidation process

3. Band-gap energy

۸۰ ° افزایش یافت تا تمام آب تبخیر شده و گرافن اکسید کاهش یافته بر روی اکسید رسوب کند. در نهایت رسوب به دست آمد به مدت ۱۲ ساعت در آون در دمای ۷۰ ° قرار داده شد تا خشک شود [۱۲].
بارگذاری گرافن بر روی اکسید

برای بارگذاری درصد وزنی مشخصی از گرافن (۵ ۱۰ و ۱۵ درصد وزنی) بر روی اکسید، روش تلچیح به کار گرفته شد. مراحل کار مانند بارگذاری گرافن اکسید کاهش یافته بود.

آزمون فعالیت فوتوکاتالیستی
فعالیت فوتوکاتالیستی روی اکسید و روی اکسیدهای بارگذاری شده با گرافن اکسید کاهش یافته و گرافن، در فرایند حذف آلاینده آنیلین از محلول آبی تحت پرتو نور مرئی بررسی شد. برای آزمون های فوتوکاتالیستی، ابتدا مقدار موردنیاز از فوتوکاتالیست (۵۰۰ ppm) به ظرف واکنش حاوی ۱۰۰ میلی لیتر محلول آنیلین (۳۰ ppm) منتقل شد و در حالتی که لامپ خاموش بود، به مدت ۰/۵ ساعت با همزن مغناطیسی هم زده شد تا تعادل جذب-واجد بین فوتوکاتالیست و آلاینده به دست آید. سپس، لامپ نور مرئی روشن شد تا تعیقه تحت تابش نور مرئی قرار گیرد و فرایند فوتوکاتالیستی شروع شود. در ادامه در زمان های متفاوت، از ظرف واکنش نمونه برداری شد و پس از جدا کردن ذره های جامد با گریزانه، مقدار جذب محلول با طیف نور سنج در طول موج مشخص اندازه گیری شد [۱۳]. در پایان با استفاده از مقدار جذب اندازه گیری شده و معادله ۱، درصد حذف آلاینده آنیلین محاسبه شد.

$$(1) \quad (\text{A}_0 - \text{A}_t) / \text{A}_0 \times 100 = \text{درصد حذف}$$

در این معادله، A_0 جذب محلول آنیلین در لحظه $t = 0$ و A_t جذب محلول آنیلین در لحظه نمونه برداری است.

چندسازه ها نیز با پراش پرتو ایکس (XRD)، میکروسکوپ الکترونی پویشی (SEM)، فوتولومینسانس (PL)، طیف شناسی فروسرخ تبدیل فوریه (FTIR) و طیف شناسی فرابینفس-مرئی بازتاب پخشیده (UV-Vis DRS¹) بررسی شد.

بخش تجربی

مواد و دستگاه ها

در این پژوهش از روی اکسید، گرافن، گرافن اکسید کاهش یافته و آنیلین استفاده شد که همه آن ها ساخت شرکت مرک بودند. برای بررسی ساختار چندسازه ها، از دستگاه پراش پرتو ایکس Ziemence D500 ساخت آمریکا Nicolet isIQ/England و طیف سنج فروسرخ تبدیل فوریه (VEGA\TESCAN-XMU) استفاده شد. ویژگی نوری چندسازه ها با طیف سنج فوتولومینسانس (Perkin elmer, USA) بررسی شد و کاف انرژی چندسازه ها نیز با طیف سنجی فرابینفس-مرئی بازتاب پخشیده (Scinco, S4100-00-0701001U, Korea) تعیین شد.

بارگذاری گرافن اکسید کاهش یافته بر روی اکسید برای بارگذاری گرافن اکسید کاهش یافته بر روی اکسید، از روش تلچیح استفاده شد. در این روش برای بارگذاری درصد وزنی مشخصی از گرافن اکسید کاهش یافته (۱۰، ۲۵ و ۴۰ درصد وزنی) بر روی اکسید، ابتدا مقدار موردنیاز از گرافن اکسید کاهش یافته به آب مقطور افزوده شد و در حمام فراصوت به مدت ۳۰ دقیقه قرار داده شد تا به طور کامل در آب پختش شود. سپس مقدار معینی روی اکسید به تعیقه افزوده شد و دوباره به مدت ۳۰ دقیقه در حمام فراصوت قرار داده شد. در مرحله بعد در حین هم زدن، دما تا

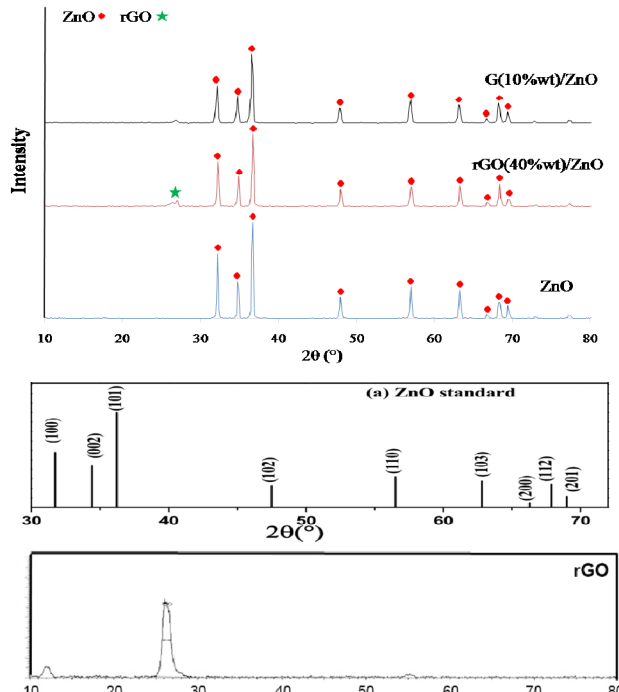
1. UV-Vis diffuse reflectance spectroscopy (UV-Vis DRS)

طیفسنجی بازتاب پخشیده، فروسرخ تبدیل فوریه و فوتولومینسانس استفاده شد.

الگوهای پراش پرتو ایکس ZnO الگویی پراش پرتو ایکس و rGO(40%wt)/ZnO G(10%wt)/ZnO در شکل ۱ نشان داده شده است.

نتیجه ها و بحث شناسایی چندسازه ها

برای بررسی ویژگی های فیزیکی و شیمیایی روی اکسید و روی اکسیدهای بارگذاری شده با گرافن اکسید کاهش یافته و گرافن، از پراش پرتو ایکس، میکروسکوپ الکترونی پویشی،



شکل ۱ الگوهای پراش پرتو ایکس ZnO، rGO(40%wt)/ZnO و G(10%wt)/ZnO

در الگوی پراش پرتو ایکس rGO(40%wt)/ZnO، پیک کوچک در $2\theta = 26^\circ$ برابر با 26° مربوط به گرافن اکسید کاهش یافته است.

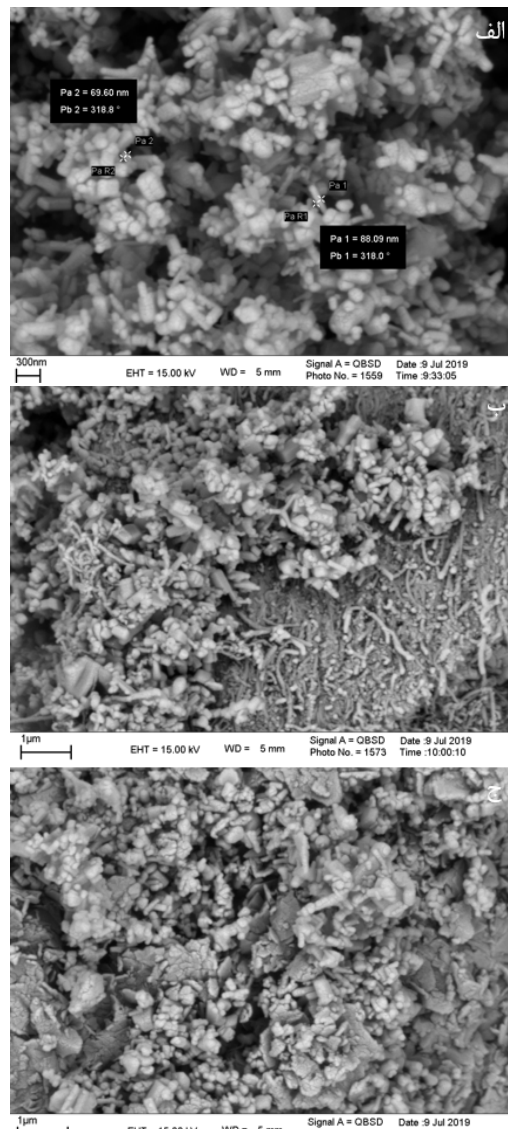
ریختشناسی ذره ها با میکروسکوپ الکترونی پویشی شکل ۲ تصویرهای میکروسکوپ الکترونی پویشی مربوط به ZnO، rGO(40%wt)/ZnO و G(10%wt)/ZnO را نشان می دهد.

مقایسه الگوهای پراش پرتو ایکس rGO(40%wt)/ZnO و G(10%wt)/ZnO با ZnO نشان می دهد که پیک های مربوط به روی اکسید (در 2θ برابر با $26^\circ, 35^\circ, 42^\circ, 54^\circ, 62^\circ, 66^\circ, 70^\circ$ و 73°) برابر باشد. استاندارد (JCPDS) روی اکسید با شماره ۱۴۵۱-۰۶۰-۰۳۶ مربوط به گرافن اکسید کاهش یافته ازین نرفته و حفظ شده است. همچنین،

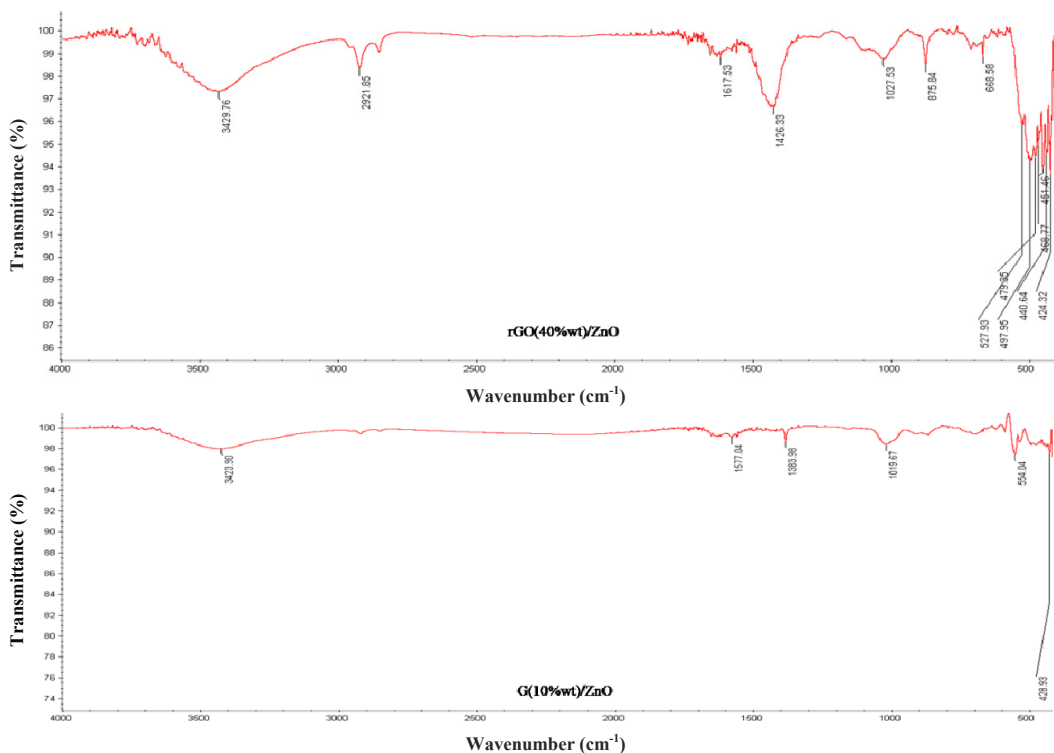
تصویرها نشان می‌دهند که ذره‌های روی اکسید به طور عمده کروی شکل هستند و به مقدار خیلی کم، ذره‌های میله‌ای شکل نیز وجود دارد. همچنین، اندازه ذره‌ها زیر ۱۰۰ نانومتر است. در چندسازه‌های می‌شود که ذره‌های روی اکسید با گرافن یا گرافن اکسید کاهش یافته به خوبی با یکدیگر مخلوط شده‌اند.

طیف‌های فروسرخ تبدیل فوریه

طیف‌های فروسرخ ZnO و rGO(40%wt)/ZnO در شکل ۳ نشان داده شده است. در طیف‌های فروسرخ تبدیل فوریه rGO(40%wt)/ZnO و G(10%wt)/ZnO، پیک‌های ظاهرشده در ناحیه ۴۰۰ تا 600 cm^{-1} مربوط به ارتعاش‌های Zn-O و پیک جذبی پهن در $3429,76\text{ cm}^{-1}$ نیز به ارتعاش‌های کششی گروه‌های O-H نسبت داده می‌شود [۱۴]. در حالت کلی برپایه طیف‌های فروسرخ تبدیل فوریه، گروه‌های عاملی در rGO(40%wt)/ZnO بیشتر از G(10%wt)/ZnO است.



شکل ۲ تصویرهای میکروسکوپ الکترونی پویشی ZnO (الف) و rGO(40%wt)/ZnO (ب) و G(10%wt)/ZnO (ج)



شکل ۳ طیف‌های فروسرخ G(10%wt)/ZnO و rGO(40%wt)/ZnO

$$\alpha h\nu = A(h\nu - E_{bg})^2 \quad (2)$$

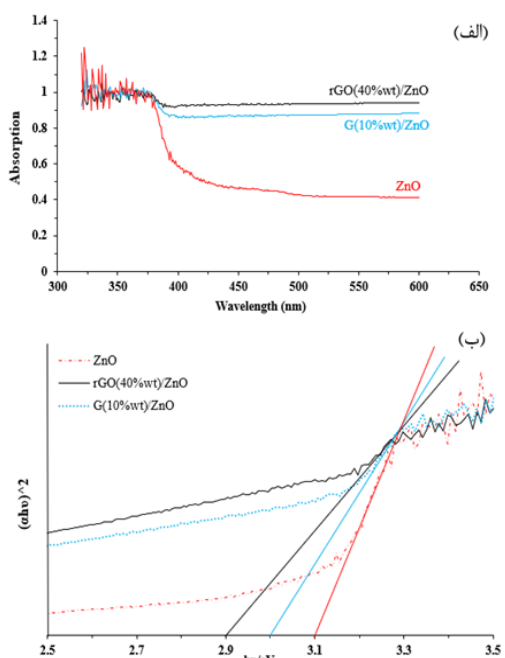
که در آن، α ضریب جذب، h ثابت پلانک، ν فرکانس نور و E_{bg} کاف انرژی است. با رسم نمودار $(\alpha h\nu)^2$ در برابر $h\nu$ و برون‌بابی بخش خطی $(\alpha h\nu)^2$ (تا صفر، کاف انرژی به دست ZnO می‌آید [۱۵ و ۱۶]. برپایه شکل ۴-ب، کاف انرژی $rGO(40\%) / ZnO$ و $G(10\%) / ZnO$ به ترتیب ۳/۱ و ۲/۹ به دست آمد. با افزایش جذب نور در ناحیه مرئی و همچنین، کاهش کاف انرژی در اثر بارگذاری گرافن و گرافن اکسید کاهش یافته بر روی اکسید، انتظار می‌رود که چندسازه‌های $G(10\%) / ZnO$ و $rGO(40\%) / ZnO$ بازده فتوکاتالیستی بالاتری را نسبت به روی اکسید در ناحیه مرئی نشان دهند.

تعیین کاف انرژی با طیف‌سنجی فرانفسن-مرئی بازتاب پخشیده

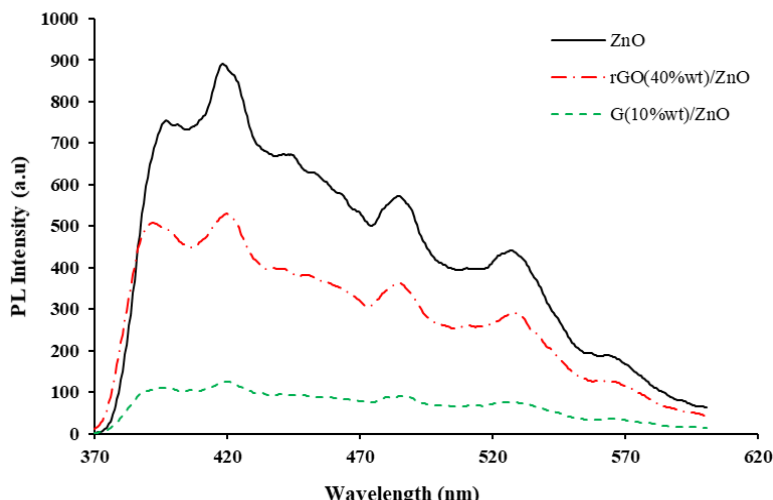
طیف‌های بازتاب پخشیده	ZnO	$rGO(40\%) / ZnO$	$G(10\%) / ZnO$
نشان داده می‌شود. برپایه شکل ۴-الف در اثر بارگذاری گرافن و گرافن اکسید کاهش یافته، جذب در ناحیه مرئی به مقدار قابل توجهی افزایش می‌یابد. بررسی دقیق‌تر نشان می‌دهد که فتوکاتالیست $rGO(40\%) / ZnO$ جذب بیشتری را نسبت به $G(10\%) / ZnO$ دارد که این جذب بیشتر می‌تواند ناشی از درصد بارگذاری بیشتر گرافن اکسید کاهش یافته (۴۰ درصد وزنی) نسبت به گرافن (۱۰ درصد وزنی) باشد که موجب افزایش بیشتر جذب نور شده است. کاف انرژی روی اکسید و چندسازه‌ها با توجه به شکل ۴-ب و معادله ۲ تعیین شد.			

طیف سنجی فوتولومینسانس

فعالیت یک فوتوکاتالیست به طول عمر الکترون-حفره‌های تولیدشده طی تابش نور بستگی دارد. در واقع بر اثر تابش نور و انتقال الکترون‌ها از نوار ظرفیت به نوار رسانایی، تجمع الکترون‌ها در نوار رسانایی به وجود آمده و این تجمع تمایل به بازترکیبی الکترون-حفره‌های به وجود آمده را موجب می‌شود. به همین دلیل بازده واکنش فوتوکاتالیستی، به ممانعت از بازترکیبی الکترون-حفره بستگی دارد. در طیف فوتولومینسانس، شدت نسبی طیف‌ها به میزان بازترکیبی الکترون-حفره‌های تولیدشده بستگی دارد. شکل ۵ طیف‌های فوتولومینسانس ZnO rGO(40%wt)/ZnO و G(10%wt)/ZnO را نشان می‌دهد. همان‌طور که در شکل ۵ مشاهده می‌شود، در روی اکسید شدت پیک فوتولومینسانس بالا است که نشان‌دهنده مقدار بالای بازترکیبی الکترون-حفره است.



شکل ۴ طیف‌های بازتاب پخشیده rGO(40%wt)/ZnO ZnO و G(10%wt)/ZnO (الف) و تعیین کاف انرژی (ب)



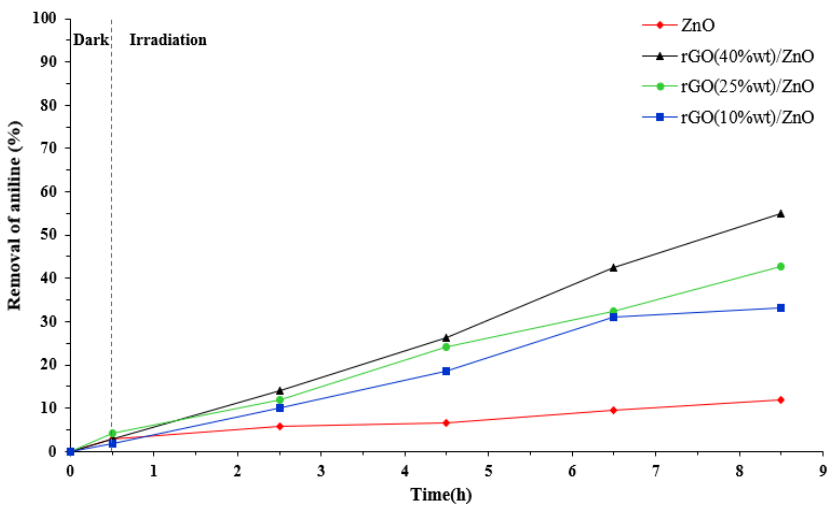
شکل ۵ طیف‌های فوتولومینسانس ZnO rGO(40%wt)/ZnO و G(10%wt)/ZnO

که بدلیل بهدام‌انداختن فوتوالکترون‌های نوار رسانایی با کربن و کاهش بازترکیبی الکترون-حفره است. همچنین،

اما با بارگذاری گرافن و گرافن اکسید کاهش یافته، شدت پیک فوتولومینسانس به مقدار زیادی کاهش می‌یابد

آزمون های فعالیت فوتوکاتالیستی روی اکسید بارگذاری شده با گرافن اکسید کاهش یافته شکل ۶ فعالیت فوتوکاتالیستی روی اکسید و اکسیدهای روی بارگذاری شده با درصد های متفاوت از گرافن اکسید کاهش یافته را نشان می دهد. نتیجه ها بیانگر این است که در اثر بارگذاری گرافن اکسید کاهش یافته، فعالیت فوتوکاتالیستی روی اکسید در نور مرئی افزایش یافته و با افزایش بیشتر درصد بارگذاری گرافن اکسید کاهش یافته، فعالیت فوتوکاتالیستی نیز بیشتر می شود. فوتوکاتالیست rGO(40%wt)/ZnO بیشترین فعالیت فوتوکاتالیستی را از خود نشان داده و توانسته است ۵۵٪ از آنیلین را در نور مرئی حذف کند.

مطابق با شکل ۵، شدت پیک فوتولومینسانس در برپایه طیف فروسرخ (شکل ۳)، گرافن اکسید کاهش یافته دارای گروه های عاملی است که این گروه های عاملی در برابر انتقال فوتولکترون ها از نوار رسانایی جلوگیری می کنند و درنتیجه مقدار بازترکیبی الکترون-حفره در اکسید کاهش یافته، بیشتر از G(10%wt)/ZnO است. در نهایت چندسازه G(10%wt)/ZnO کمینه شدت پیک فوتولومینسانس را دارد و این نشان می دهد که بازترکیبی الکترون-حفره در G(10%wt)/ZnO خیلی پایین است. درنتیجه، انتظار می رود چندسازه G(10%wt)/ZnO به دلیل جداسازی موثر الکترون-حفره، عملکرد فوتوکاتالیستی بالایی از خود نشان دهد [۱۱ و ۱۷].



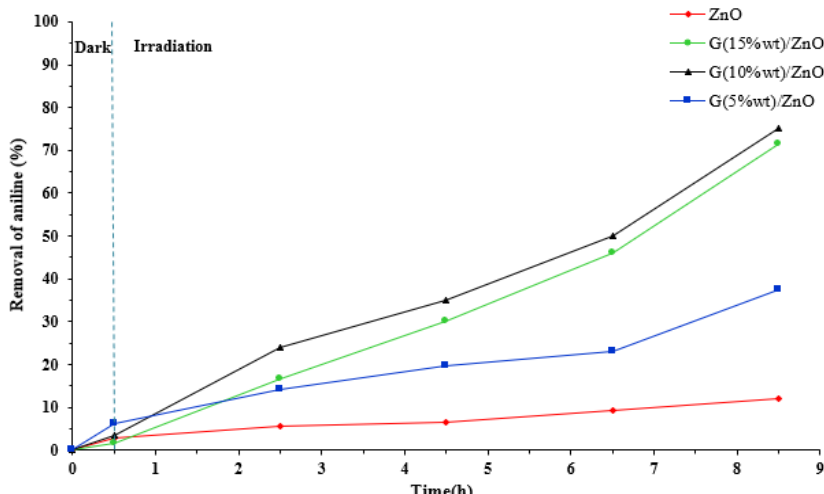
شکل ۶ درصد حذف آنیلین با روی اکسید و اکسیدهای روی بارگذاری شده با درصد های متفاوت از گرافن اکسید کاهش یافته تحت پرتو نور مرئی (غلظت آنیلین: ۳۰ ppm و مقدار فوتوکاتالیست: ۵۰.۰ ppm)

این شکل مشاهده می شود با بارگذاری گرافن بر روی اکسید، فعالیت فوتوکاتالیستی به طور قابل توجهی افزایش یافته و درصد حذف آلاینده آنیلین زیاد می شود. در بین اکسیدهای

روی اکسید بارگذاری شده با گرافن نتیجه ها تاثیر بارگذاری درصد های متفاوت گرافن بر روی اکسید، در شکل ۷ نشان داده می شود. همان طور که در

پیش و پس از حذف با فرایند فتوکاتالیستی با چندسازه $ZnO/G(10\%wt)$ ، تخریب فتوکاتالیستی آلاینده آنیلین تایید می‌شود.

روی بارگذاری شده با گرافن، چندسازه $ZnO/G(10\%wt)$ با ۷۵٪ حذف آنیلین بهترین عملکرد فتوکاتالیستی را از خود نشان داد. برپایه پیکهای طیف‌نورسنجی محلول آنیلین

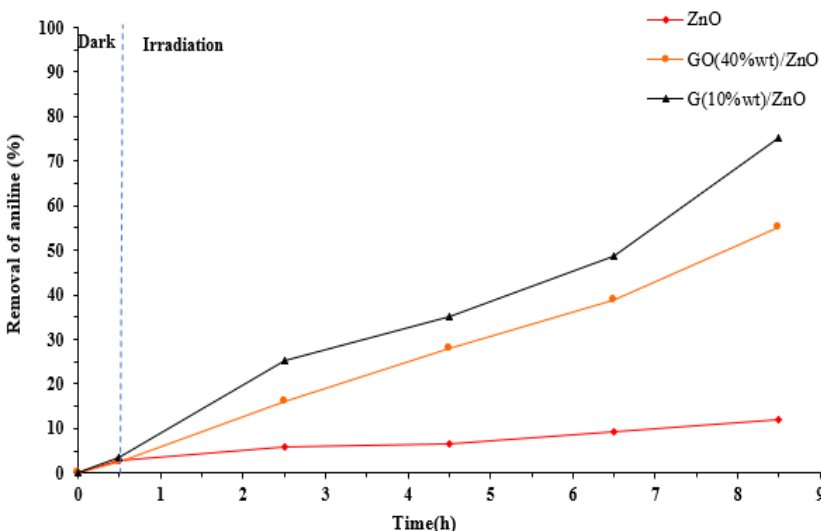


شکل ۷ درصد حذف آنیلین با روی اکسید و روی اکسیدهای بارگذاری شده با درصدهای متفاوت از گرافن تحت پرتو نور مرئی (غلظت آنیلین: ۳۰ ppm و مقدار فتوکاتالیست: ۵۰ ppm)

بازتاب پخشیده (شکل ۴-ب)، بارگذاری کربن موجب افزایش جذب در ناحیه مرئی و کاهش کاف انرژی نیز می‌شود. مقدار کاف انرژی موجب انتقال راحت الکترون‌ها از نوار ظرفیت به نوار رسانایی شده و درنتیجه فعالیت فتوکاتالیستی افزایش یافته است [۱۲ و ۱۸].

همچنین، شکل ۸ نشان می‌دهد که فعالیت فتوکاتالیستی بیشتر از $ZnO/G(10\%wt)$ بیشتر از $rGO(40\%wt)/ZnO$ است. برپایه طیف‌های فوتولومینسانس (شکل ۵)، شدت پیک در $rGO(40\%wt)/ZnO$ کمتر از $ZnO/G(10\%wt)$ و خیلی پایین است. بنابراین، باز ترکیبی خیلی کمتر الکترون-حفره در $ZnO/G(10\%wt)$ ، موجب عملکرد فتوکاتالیستی بیشتر این چندسازه نسبت به $rGO(40\%wt)/ZnO$ شده است.

مقایسه فعالیت فتوکاتالیستی $rGO(40\%wt)/ZnO$ و $ZnO/G(10\%wt)/ZnO$ در شکل ۸ نشان داده شده است. برپایه نتیجه‌ها، در اثر بارگذاری کربن بر روی اکسید، عملکرد فتوکاتالیستی و درصد حذف آنیلین در نور مرئی افزایش می‌یابد. در واقع کربن به عنوان پذیرنده و انتقال‌دهنده فوتوالکترون عمل کرده است و با انتقال سریع فوتوالکترون‌های تولید شده در روی اکسید، موجب تفکیک بهتر حامل‌های بار (فوتوالکترون و حفره) شده و از ترکیب دوباره فوتوالکترون و حفره جلوگیری کرده و درنتیجه عملکرد فتوکاتالیستی افزایش یافته است (طیف‌های فوتولومینسانس تایید کننده این مطلب هستند). افزون براین، برپایه طیف‌های



شکل ۸ مقایسه درصد حذف آنیلین با ZnO , $\text{rGO}(40\text{wt})/\text{ZnO}$ و $\text{G}(10\text{wt})/\text{ZnO}$ تحت پرتو نور مرئی (غلظت آنیلین: 30 ppm و مقدار فتوکاتالیست: 500 ppm)

نشان دادند که با بارگذاری گرافن و گرافن اکسید کاهش یافته، ترکیب دوباره الکترون-حفره کاهش یافت و در چندسازه $\text{G}(10\text{wt})/\text{ZnO}$ شدت پیک فوتولومینسانس خیلی پایین بود. نتیجه‌های آزمون‌های فتوکاتالیستی نشان داد که بازده فتوکاتالیستی روی اکسیدهای بارگذاری شده با گرافن و گرافن اکسید کاهش یافته، بیشتر از روی اکسید بود و چندسازه $\text{G}(10\text{wt})/\text{ZnO}$ با 75% حذف آنیلین در نور مرئی، بیشترین فعالیت فتوکاتالیستی را از خود نشان داد.

سپاسگزاری

نویسنده‌گان از حمایت مالی دانشگاه زنجان و حمایت تکمیلی ستاد فناوری نانو در اجرای این پژوهش سپاسگزارند.

نتیجه‌گیری

در این پژوهش برای افزایش فعالیت فتوکاتالیستی روی اکسید در نور مرئی، روی اکسید با درصدهای متفاوتی از گرافن و گرافن اکسید کاهش یافته بارگذاری و عملکرد فتوکاتالیستی روی اکسید و چندسازه‌ها برای حذف آنیلین از محلول آبی در نور مرئی بررسی شد. ویژگی فیزیکی و شیمیایی چندسازه‌ها نیز با پراش پرتو ایکس، میکروسکوب الکترونی پویشی، فوتولومینسانس، طیفسنجی فروسرخ و طیفسنجی فرابنفش-مرئی بازتاب پخشیده بررسی شد. برایه طیف‌های بازتاب پخشیده در اثر بارگذاری گرافن و گرافن اکسید کاهش یافته، جذب در ناحیه مرئی بیشتر شد و کاف انرژی نیز کاهش یافت. طیف‌های فوتولومینسانس نیز

مراجع

- [1] Jin, R.; Qiu, Z.; Cheng, W; Jin, X.; Chemical Physics Letters 755, 137747, 2020.
- [2] Szczepanik, B.; Słomkiewicz, P.; Applied Clay Science 124-125, 31-38, 2016.
- [3] Rachna, Rani M.; Shanker, U.; Environmental Nanotechnology, Monitoring and Management 10, 36-50, 2018.

- [4] Wu, G.Q.; Zhang, X.; Hui, H.; Yan, J.; Zhang, Q.S.; Wan, J.L.; Dai, Y.; Chemical Engineering Journal 185, 201-210, 2012.
- [5] Shokri, A.; International Journal of Industrial Chemistry 9, 295–303, 2018.
- [6] Panahi, P.N.; Babaei, S; and Rasoulifard, M.H.; Desalination and Water Treatment 194, 194-202, 2020.
- [7] Taghavi, M.; Tabatabaee, M.; Ehrampoush, M.H.; Ghaneian, M.T.; Afsharnia, M.; Alami, A.; Mardaneh, J.; Journal of Molecular Liquids 249, 546-553, 2018.
- [8] Kumar, S.; Kaushik, R.D; and Purohit, L.P.; Journal of Molecular Liquids 327, 114814, 2021.
- [9] Shakeel, M.; Li, B.; Arif, M.; Yasin, G.; Rehman, W.; Khan, A.U.; Khan, S.; Khan, A; and Ali, J.; Applied Catalysis B: Environmental 227, 433-445, 2018.
- [10] Fan, H.; Zhao, X.; Yang, J.; Shan, X.; Yang, L.; Zhang, Y.; Li, X.; Gao, M.; Catalysis Communications 29, 29-34, 2012.
- [11] Chen, Y.C.; Katsumata, K.I.; Chiu, Y.H.; Okada, K.; Matsushita, N.; Hsu, Y.J.; Applied Catalysis A: General 490, 1-9, 2015.
- [12] Nakhostin Panahi, P.; Rasoulifard, M.H.; Hekmati, F.; Reaction Kinetics, Mechanisms and Catalysis 128, 539-554, 2019.
- [13] Shakeel, M.; Li, B.; Arif, M.; Yasin, G.; Rehman, W.; Ullah Khan, A.; Khan, S.; Khan, A.; Ali, J.; Applied Catalysis B: Environmental 227, 433-445, 2018.
- [14] Hong, R.Y.; Li, J.H.; Chen, L.L.; Liu, D.Q.; Li, H.Z.; Zheng, Y.; Ding, J.; Powder Technology 189(3), 426-432, 2009.
- [15] Panahi, P.N.; Rasoulifard, M.H; and Babaei, S.; Rare Metals 39, 139-146, 2020.
- [16] Dutta, K.; Poddar, D.; Das, S.; Chattopadhyay, N.; and Saha, S. K.; Journal of Environmental Chemical Engineering 9, 104851, 2021.
- [17] Qiang, M.; Xiaomin, H.; Ke, L.; Rui, D.; Zhang, H.; Bo, X.; and Kewen, Z.; Separation and Purification Technology 259, 118131, 2021.
- [18] Abd-Elrahim, A.G.; Chun, D.M.; Ceramics International 47, 12812-12825, 2021.

Aniline removal from polluted water by photocatalytic oxidation process in the presence of zinc oxide loaded with carbon

Parvaneh Nakhostin Panahi^{1*}, Afsane Nikoo²

1. Assistant Prof. of Applied Chemistry, Department of Chemistry, Faculty of Science, University of Zanjan, Zanjan, Iran.

2. M.Sc. Student in Applied Chemistry, Department of Chemistry, Faculty of Science, University of Zanjan, Zanjan, Iran.

Abstract: Aniline has high toxicity and can be immediately absorbed through the skin. If aniline is swallowed or its vapor is inhaled, it will lead to death. Considering aniline risks on the environment and human health, it is necessary to prevent its spread into the environment. This study's purpose is to remove aniline using a photocatalytic process under visible light irradiation. For this purpose, the zinc oxide was loaded with different amounts of reduced graphene oxide and graphene. The photocatalytic activity of modified zinc oxides (rGO/ZnO and G/ZnO) was investigated for aniline contaminant removal under visible light radiation. The physicochemical properties of zinc oxide and modified zinc oxides were analyzed by XRD, SEM, FTIR, PL, TEM, and UV–Vis (DRS mode) spectroscopy. The results showed that rGO/ZnO and G/ZnO composites had higher photocatalytic activity than ZnO, and the G(10wt%)/ZnO photocatalyst showed the highest photocatalytic activity and efficiency in removing of aniline (75%).

Keywords: Photocatalyst, Aniline, Zinc oxide, Graphene

* Corresponding author Email: panahi@znu.ac.ir

Journal of Applied Research in Chemistry